

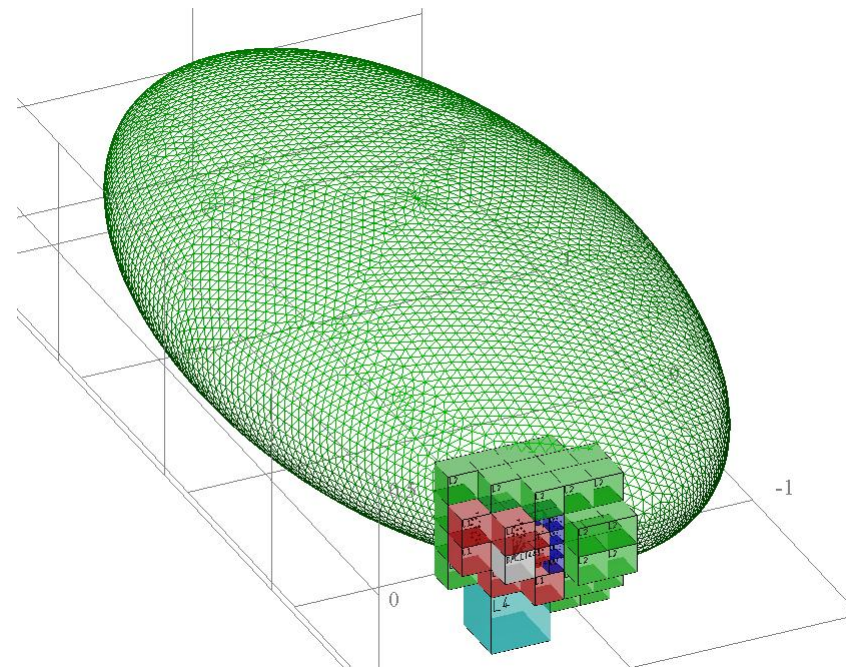
BEUTH HOCHSCHULE FÜR TECHNIK BERLIN

Beuth University of Applied Sciences Berlin

in Kooperation mit dem FWG (Forschungsbereich für Wasserschall  
und Geophysik) der WTD 71, Kiel



# Performance-Optimierung und Grenzen eines Multi-Level Fast Multipole Algorithmus für akustische Berechnungen



**Ralf Burgschweiger, Martin Ochmann, Ingo Schäfer und Bodo Nolte**

DAGA 2012, 19.-22. März 2012, Darmstadt

## Zum Inhalt

Die Multi-Level Fast Multipole Methode (MLFMM) ermöglicht die numerische Berechnung akustischer Problemstellungen auf Basis der Randelementemethode (BEM), bei denen die diskretisierten Modelle aus sehr großen Anzahlen von Elementen bestehen.

Lösungszeit und Speicherbedarf liegen im Vergleich mit konventionellen Lösungsmethoden in der Regel deutlich niedriger, da ein potentialbasierendes Clustering-Verfahren zur approximativen Berechnung der für iterative Löser benötigten Matrix-Vektor-Produkte verwendet wird.

Im Rahmen eines Forschungsprojekts wurde ein zuvor entwickelter Code, basierend auf einer Multi-Level/Single-Order-Variante des Algorithmus, auf eine Multi-Level/Adaptive-Order-Version mit adaptiver Interpolation erweitert und hinsichtlich Lösungsqualität, Parallelisierbarkeit sowie Performance untersucht und optimiert.

## Vortragsinhalte:

- Grundlagen der Multi Level Fast Multipole Method (MLFMM)
- Adaptive Variante
- Ergebnisse / offene Fragen

## Fast Multipole Methode (MLFMM)

Die Multi-Level Fast-Multipol-Methode stellt ein Verfahren zur beschleunigten Bildung eines Matrix-Vektor-Produktes (MVP) dar, ohne dabei die Matrix vollständig bilden zu müssen.

Sie eignet sich daher in Verbindung mit iterativen Lösern (hier: GMRES) zum Einsatz bei „großen“ Gleichungssystemen, bei denen die Wechselwirkungen zwischen vielen Quell- ( $N_x$ ) und Zielpunkten ( $N_y$ ) berücksichtigt werden müssen.

Aus Abb. 1 und 2 lässt sich die Abnahme der Anzahl der so zu berücksichtigenden Interaktionen gut erkennen.

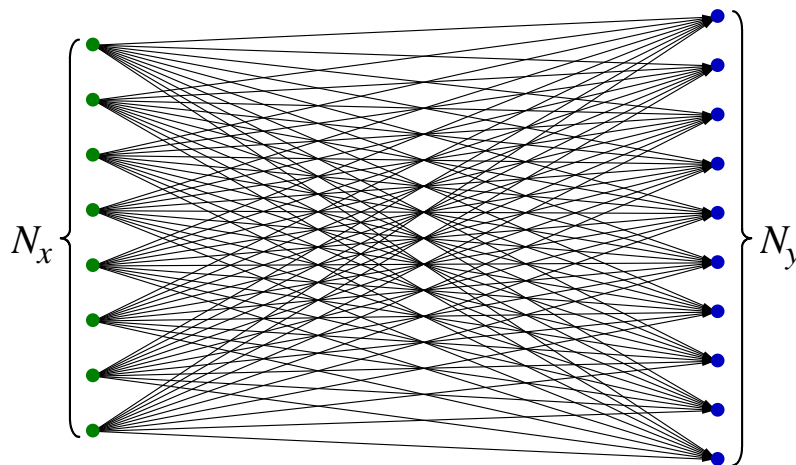


Abb. 1: Interaktionen zwischen Quell- und Zielpunkten bei konventioneller Berechnung

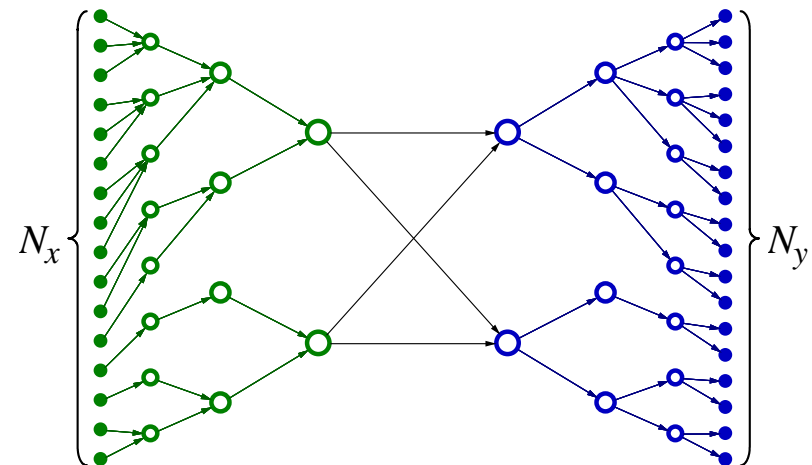


Abb. 2: Cluster-basierende Interaktionen bei der MLFMM (für einen maximalen Cluster-Level von  $N_{lc,max} = 3$ )

Die Wirkungen einzelner Quellen  $x_i$  werden innerhalb eines „Quell“-Clusters  $C_x$  mit dem Radius  $R$  zu einer Multipol-Quelle am Punkt  $z_x$  zusammengefasst.

Deren Potential wird zu einem entfernten „Ziel“-Cluster  $C_y$  mit dem Mittelpunkt  $z_y$  transformiert und dort auf die Zielpunkte  $y_j$  verteilt (Abb. 3).

**Grün:** Quellpunkte bzw. -Cluster  
**Blau:** Zielpunkte bzw. -Cluster

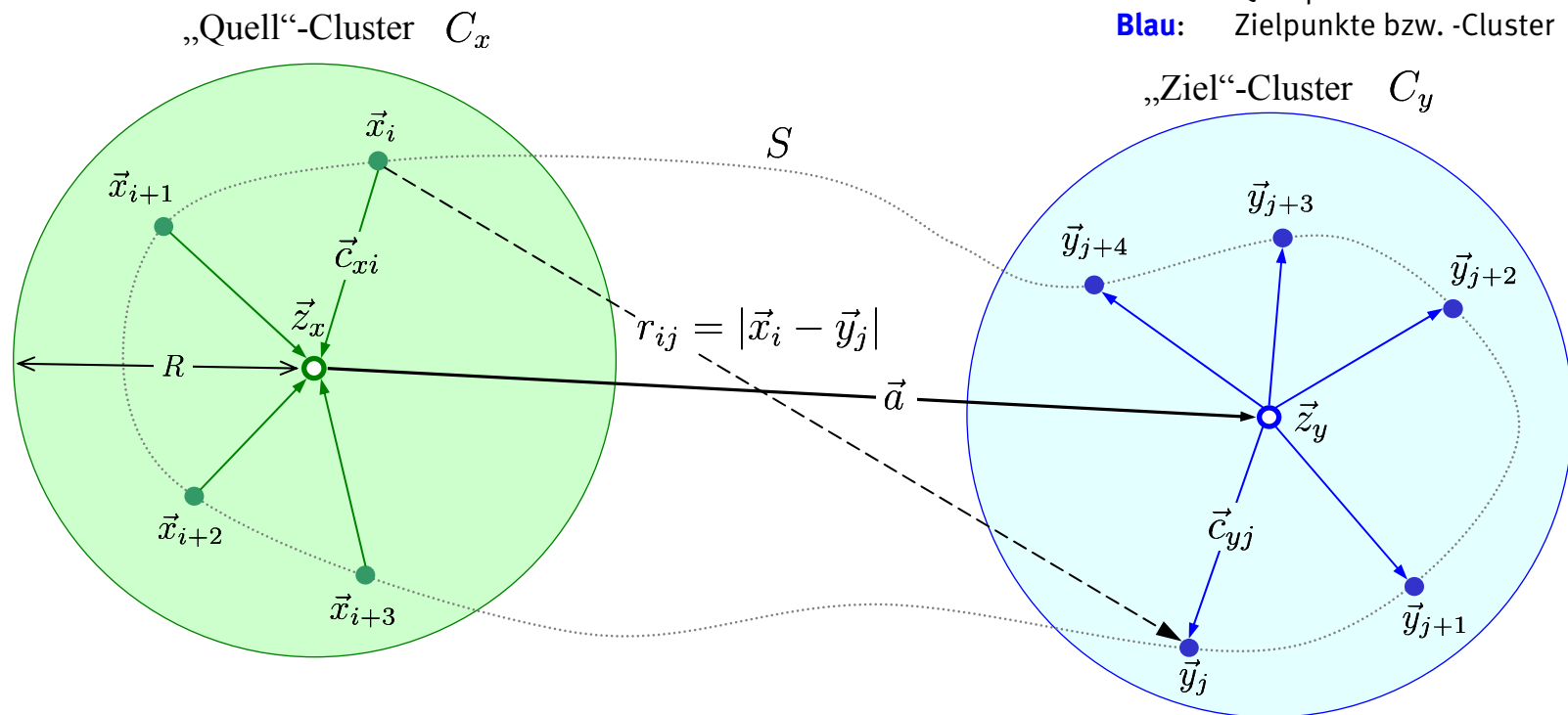


Abb. 3: Zerlegung des Weges zwischen Quell- und Zielpunkten

Für jeden Teil des Wegs zwischen dem Quell- und Zielpunkt wird eine entsprechende Übertragungsfunktion ( $h$ ,  $\mu^M$  und  $f$ ) verwendet (Abb. 4).

Die vollständigen Details hierzu sind z.B. bei [4, T. Sakuma, S. Schneider and Y. Yasuda: *Fast Solution Methods*, Kap. 12, in *Computational Acoustics of Noise Propagation in Fluids*, 2008, Springer Verlag] zu finden.

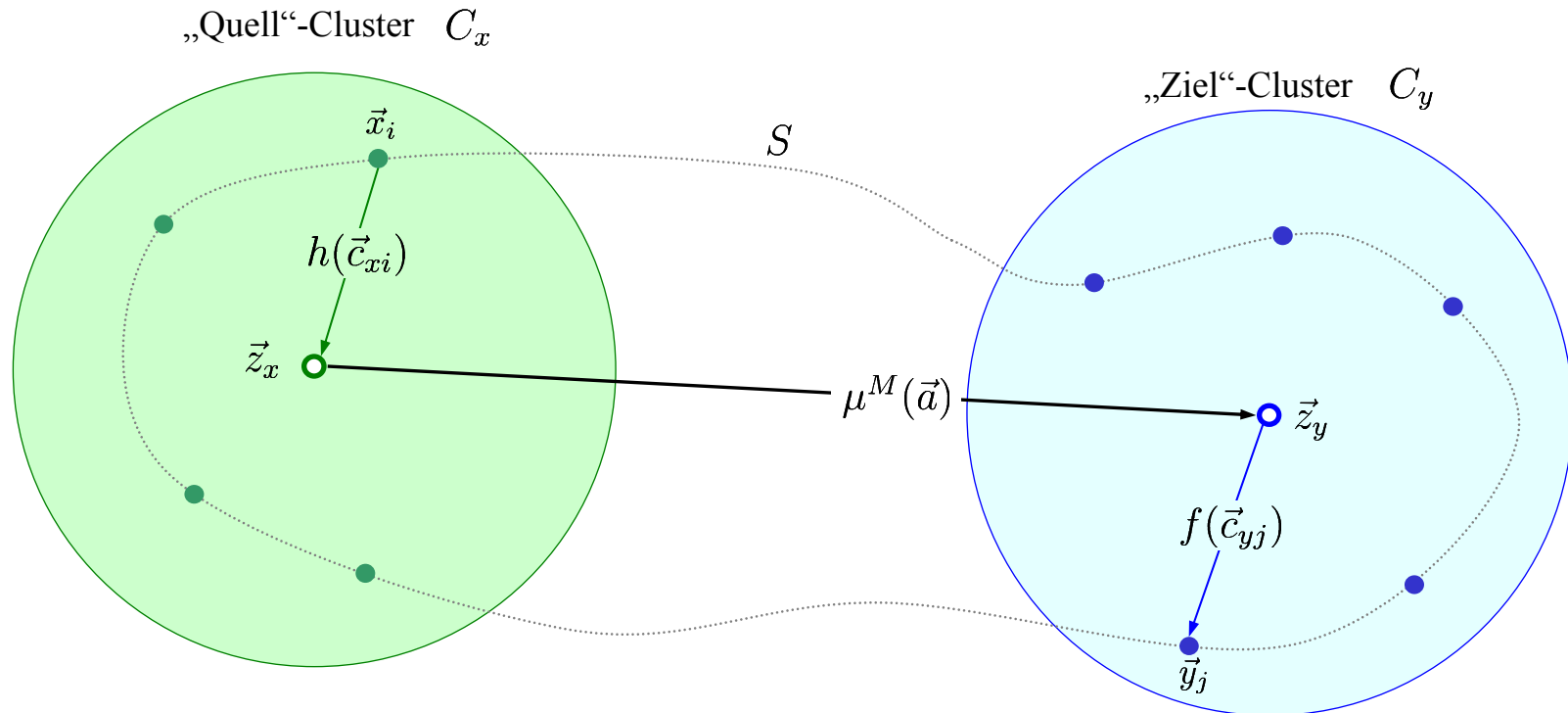


Abb. 4: wegbabhängige Übertragungsfunktionen  $h$ ,  $\mu^M$  und  $f$

Eine der kritischsten Funktionen hierbei ist der Translations-Operator  $\mu^M$ , der das Multipol-Potential (die sog. Signaturen) zwischen den Clusterzentren überträgt.

Dieser Operator kann als Reihenentwicklung mit einer maximalen Entwicklungsordnung  $O_{mp}$  („Multipol-Ordnung“) dargestellt werden:

$$\mu^M(\vec{a}, \hat{s}) = \frac{1}{4\pi} \sum_{l=1}^{O_{mp}} (2l + 1) i^l h_l(k |\vec{a}|) P_l(\hat{s} \cdot \hat{a})$$

- mit  $\vec{a}$  Abstandvektor zwischen den Cluster-Zentren
- $\hat{s}$  Vektor der Einheitskugel (Anzahl i. d. R.:  $N_{us} = 2(O_{mp} + 1)^2$ )
- $k$  Wellenzahl
- $h_l(k |\vec{a}|)$  Hankel-Funktion  $l$ -ter Ordnung
- $P_l(\hat{s} \cdot \hat{a})$  Legendre-Polynom  $l$ -ter Ordnung



Für dieses Beispiel wurde eine schallharte Kugel ( $r = 0,5 \text{ m}$ ) in Wasser mit einer einfallenden ebenen Welle bei einer Frequenz  $f = 1 \text{ kHz}$  verwendet.

| Allg. Größen |          | Direkter Löser<br>(Intel MKL) | Iterativer Löser<br>(GMRES) |            | Fast Multipol Methode, feste Ordnung, $O_{mp} = 6$<br>(GMRES/MLFMM, Vs. 1.030) |            |                   |                   |
|--------------|----------|-------------------------------|-----------------------------|------------|--|------------|-------------------|-------------------|
| $N_{elem}$   | $s_{mx}$ | $\Delta t_{IMKL}$             | $\Delta t_{GMRES}$          | $N_{iter}$ | $\Delta t_{FMM}$   | $N_{iter}$ | $\Delta t_{MVP0}$ | $\Delta t_{QMVP}$ |
| 1.000        | 16 MB    | 0,20 s                        | 0,16 s                      | 12         | 0,64 s   | 13         | 0,093 s           | 0,045 s           |
| 2.500        | 90 MB    | 1,23 s                        | 0,73 s                      | 11         | 0,62 s   | 12         | 0,141 s           | 0,042 s           |
| 5.000        | 0,6 GB   | 7,44 s                        | 3,03 s                      | 11         | 2,06 s   | 13         | 0,328 s           | 0,142 s           |
| 10.000       | 1,5 GB   | 43,99 s                       | 11,92 s                     | 11         | 2,59 s   | 12         | 0,562 s           | 0,180 s           |
| 20.000       | 6,1 GB   | 310,75 s                      | 52,56 s                     | 11         | 7,63 s   | 13         | 1,202 s           | 0,530 s           |
| 50.000       | 38 GB    | 4.352,43 s                    | 329,37 s                    | 11         | 15,13 s  | 12         | 3,433 s           | 1,053 s           |
| 100.000      | 153 GB   | n.v.                          | *11.710,95 s                | 11         | 31,87 s  | 12         | 5,975 s           | 2,331 s           |
| 200.000      | 612 GB   | n.v.                          | *46.635,42 s                | 11         | 57,16 s  | 12         | 12,823 s          | 3,989 s           |
| 500.000      | 3,8 TB   | n.v.                          | n.v.                        |            | 138,26 s   | 12         | 28,205 s          | 9,869 s           |
| 1.000.000    | 15,4 TB  | n.v.                          | n.v.                        |            | 373,61 s   | 12         | 68,500 s          | 27,596 s          |
| 2.000.000    | 61,2 TB  | n.v.                          | n.v.                        |            | 561,82 s   | 12         | 114,973 s         | 40,332 s          |
| 5.000.000    | 383 TB   | n.v.                          | n.v.                        |            | 1.922,26 s   | 13         | 315,325 s         | 133,179 s         |

Tab. 1: Ergebnisse zur schallharten Kugel mit MLFMM (Vs. 1.030)  
System: Dual Intel XEON E5550, 2,66 GHz, 8 CPU-Kerne, 96 GB DDR-3 RAM

Für dieses Beispiel wurde eine schallharte Kugel ( $r = 0,5 \text{ m}$ ) in Wasser mit einer einfallenden ebenen Welle bei einer Frequenz  $f = 1 \text{ kHz}$  verwendet ( $O_{mp} = 6$ ).

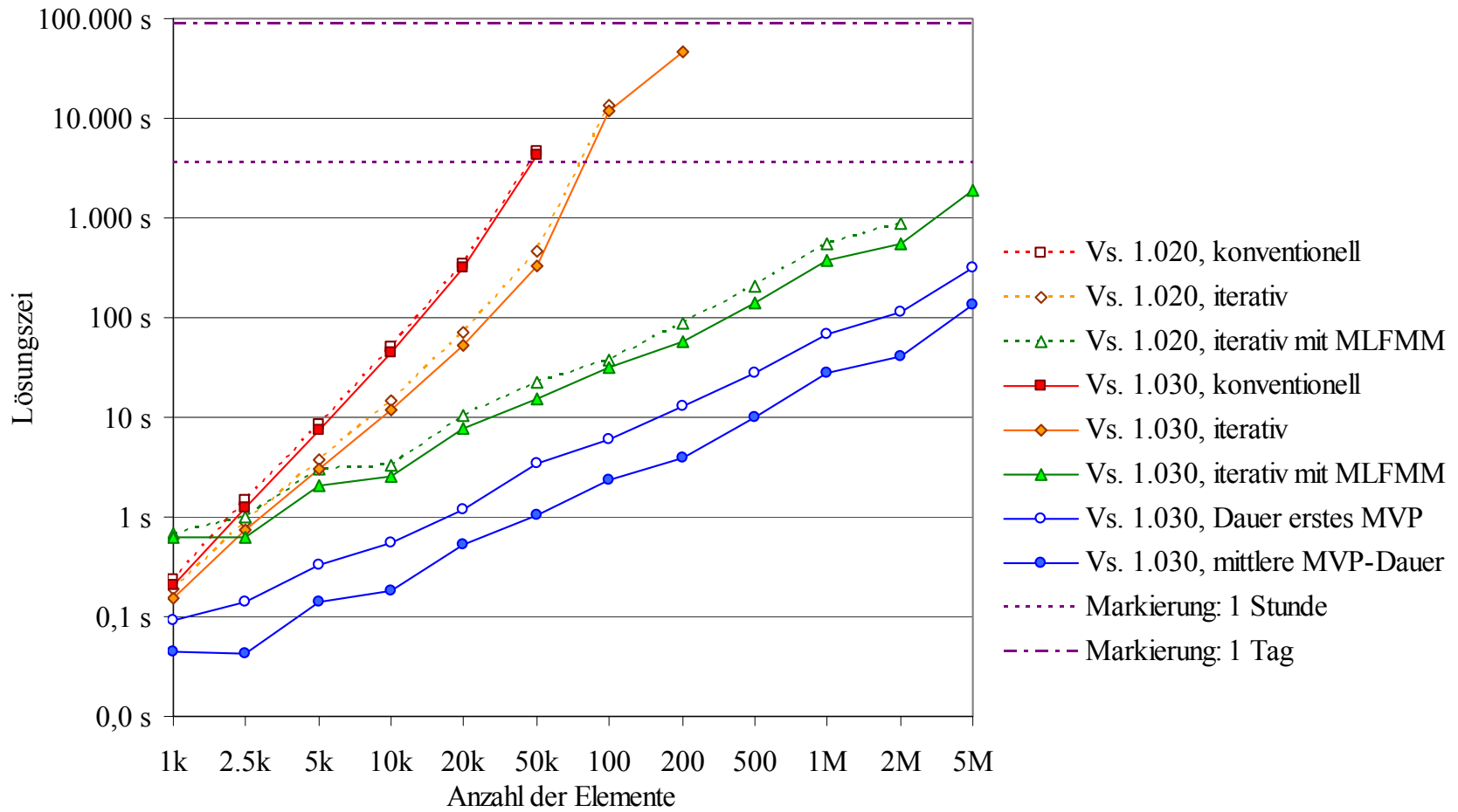


Abb. 5: Ergebnisse zur schallharten Kugel mit MLFMM (Vs. 1.020 und Vs. 1.030)

Durch die Umstellung auf die adaptive Version, Optimierungen der Vorabberechnungen und Parallelisierung weiterer Schritte konnte die Lösungszeit auf bis zu 40% gegenüber der Vs. 1.030 (mit fester Ordnung) reduziert werden (Tab. 2/ Abb. 6).

| $N_{elem}$ | MLFMM, feste Ordnung, $O_{mp} = 6$<br>(Vs. 1.030, 8 cores, Windows) |            | MLFMM, adaptive Ordnung, $O_{mp} = 6 \dots 10$<br>(Vs. 2.030, 12 cores, LINUX) |            |                   |                            |
|------------|---|------------|--|------------|-------------------|----------------------------|
|            | $\Delta t_{FMM}$  | $N_{iter}$ | $\Delta t_{FMM}$   | $N_{iter}$ | $\Delta t_{MVP0}$ | $\Delta t_{\emptyset MVP}$ |
| 1.000      | 0,64 s  | 13         | 0,29 s   | 13         | 0,071 s           | 0,015 s                    |
| 2.500      | 0,62 s  | 12         | 0,42 s   | 13         | 0,120 s           | 0,024 s                    |
| 5.000      | 2,06 s  | 13         | 0,91 s   | 12         | 0,319 s           | 0,047 s                    |
| 10.000     | 2,59 s  | 12         | 1,33 s   | 12         | 0,560 s           | 0,067 s                    |
| 20.000     | 7,63 s  | 13         | 2,57 s   | 12         | 1,115 s           | 0,127 s                    |
| 50.000     | 15,13 s   | 12         | 7,38 s   | 12         | 4,037 s           | 0,291 s                    |
| 100.000    | 31,87 s   | 12         | 12,79 s  | 12         | 6,557 s           | 0,543 s                    |
| 200.000    | 57,16 s   | 12         | 25,88 s  | 12         | 13,630 s          | 1,083 s                    |
| 500.000    | 138,26 s  | 12         | 63,74 s  | 12         | 33,053 s          | 2,661 s                    |
| 1.000.000  | 373,61 s  | 12         | 134,61 s   | 12         | 71,360 s          | 5,491 s                    |
| 2.000.000  | 561,82 s  | 12         | 257,12 s   | 12         | 140,226 s         | 10,100 s                   |
| 5.000.000  | 1.922,26 s  | 13         | 856,73 s   | 12         | 532,744 s         | 25,987 s                   |

Tab. 2: Ergebnisse zur schallharten Kugel mit MLFMM (Vs. 1.030) bzw. adaptiver MLFMM (VS. 2.030)

Die Reduzierung der Lösungszeit ist deutlich zu erkennen, ebenso der größere Zeitaufwand für das 1. MVP und der deutlich geringere Zeitaufwand bei allen folgenden MVPs.

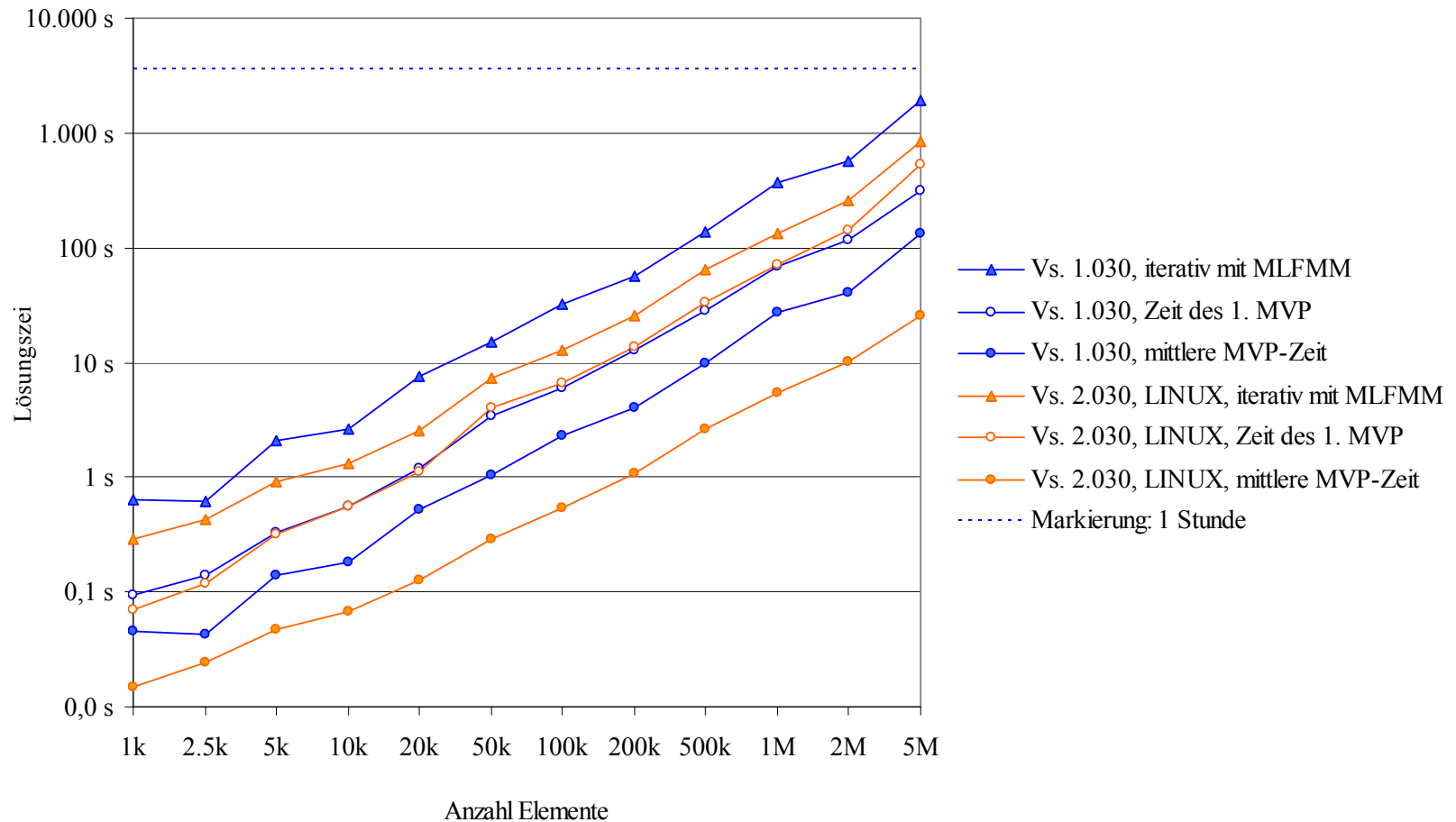


Abb. 6: Ergebnisse zur schallharten Kugel mit MLFMM (Vs. 1.030) bzw. adaptiver MLFMM (Vs. 2.030)

Für dieses Beispiel wurde ein einfaches Modell eines U-Boots mit einer Länge von ca. 57 m, bestehend aus 175.000 Elementen, verwendet. Bei einer Frequenz von 250 Hz konnte ein sehr gutes Ergebnis erzielt werden (Abb. 7).

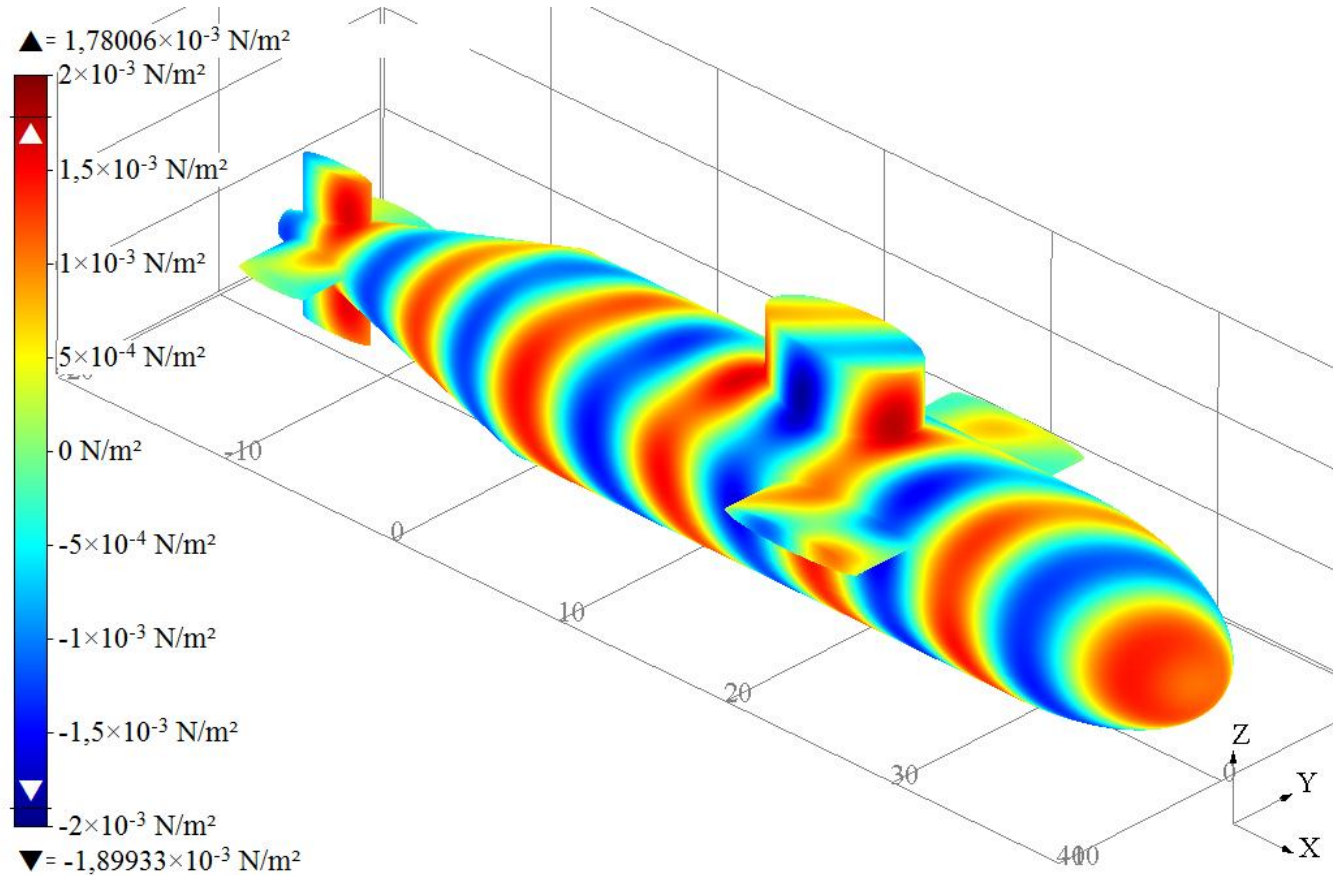


Abb. 7: Modell eines U-Boots,  $\text{Re}(p_{surf})$ ,  $N_{elem} = 175.412$ ,  $f = 250 \text{ Hz}$ ,  $\Delta t_{solve} = 182 \text{ s}$ ,  $e_{iter} < 10^{-4}$

Die Verdopplung der Frequenz auf 500 Hz führt zu ersten sichtbaren Abweichungen und auch das vorgegebene Fehlerlimit von  $e_{iter} < 10^{-4}$  wurde mit 300 Iterationen nicht erreicht (Abb. 8). Diese Abweichungen treten für  $O_{mp} > 100$  auf und führen zu kumulativen Fehlern im MVP.

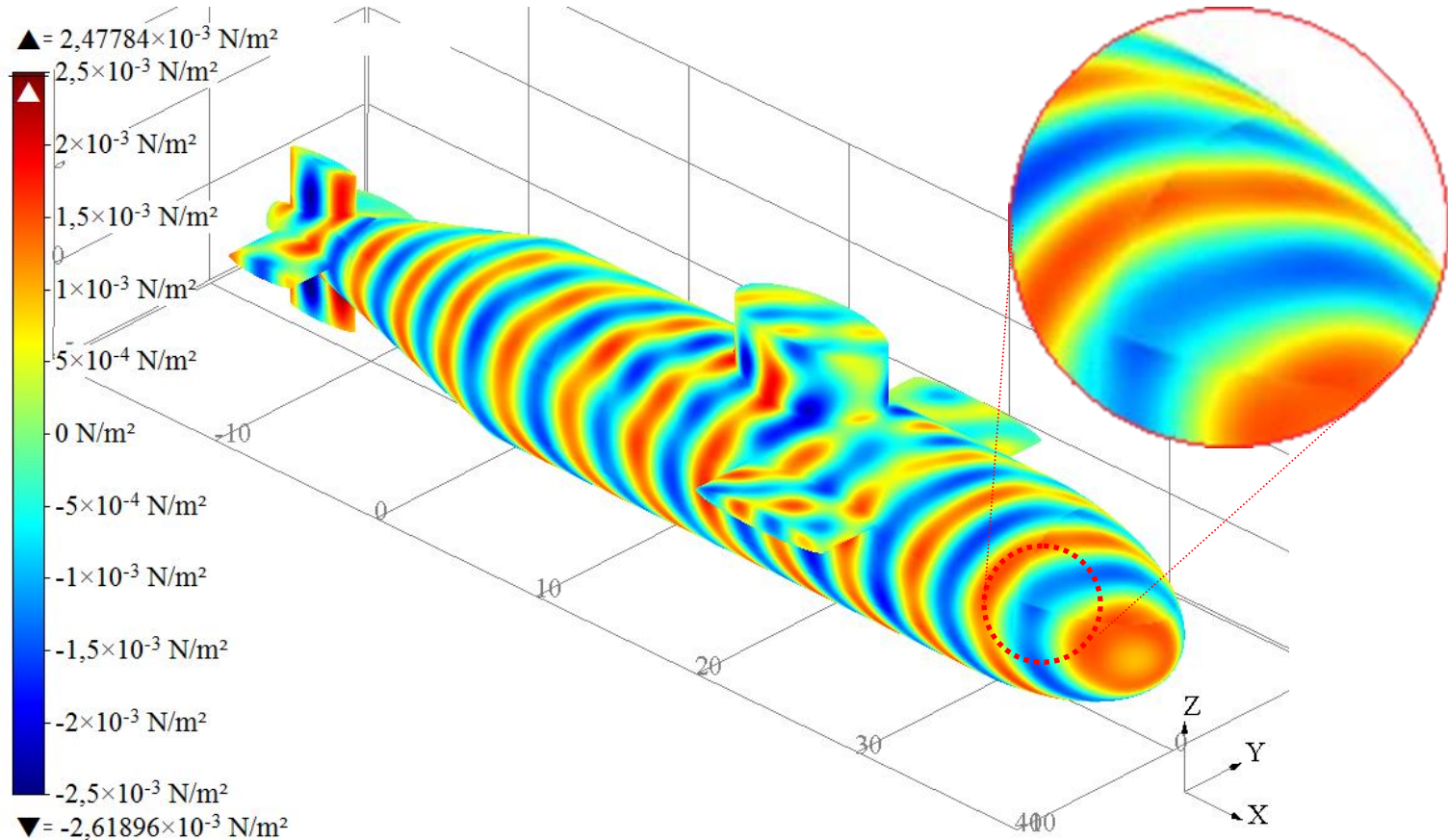


Abb. 8: Modell eines U-Boots,  $Re(p_{surf})$ ,  $N_{elem} = 175.412$ ,  $f = 500$  Hz,  $\Delta t_{solve} = 1.165$  s,  $e_{iter} \approx 2,7 \times 10^{-4}$

Bei einer Frequenz von 1.000 Hz sind deutliche Abweichungen an den Cluster-Kanten zu erkennen (Abb. 9a), das Resultat ist kaum noch verwendbar. Die maximale Multipol-Ordnung lag hier bei  $O_{mp} = 266$ .

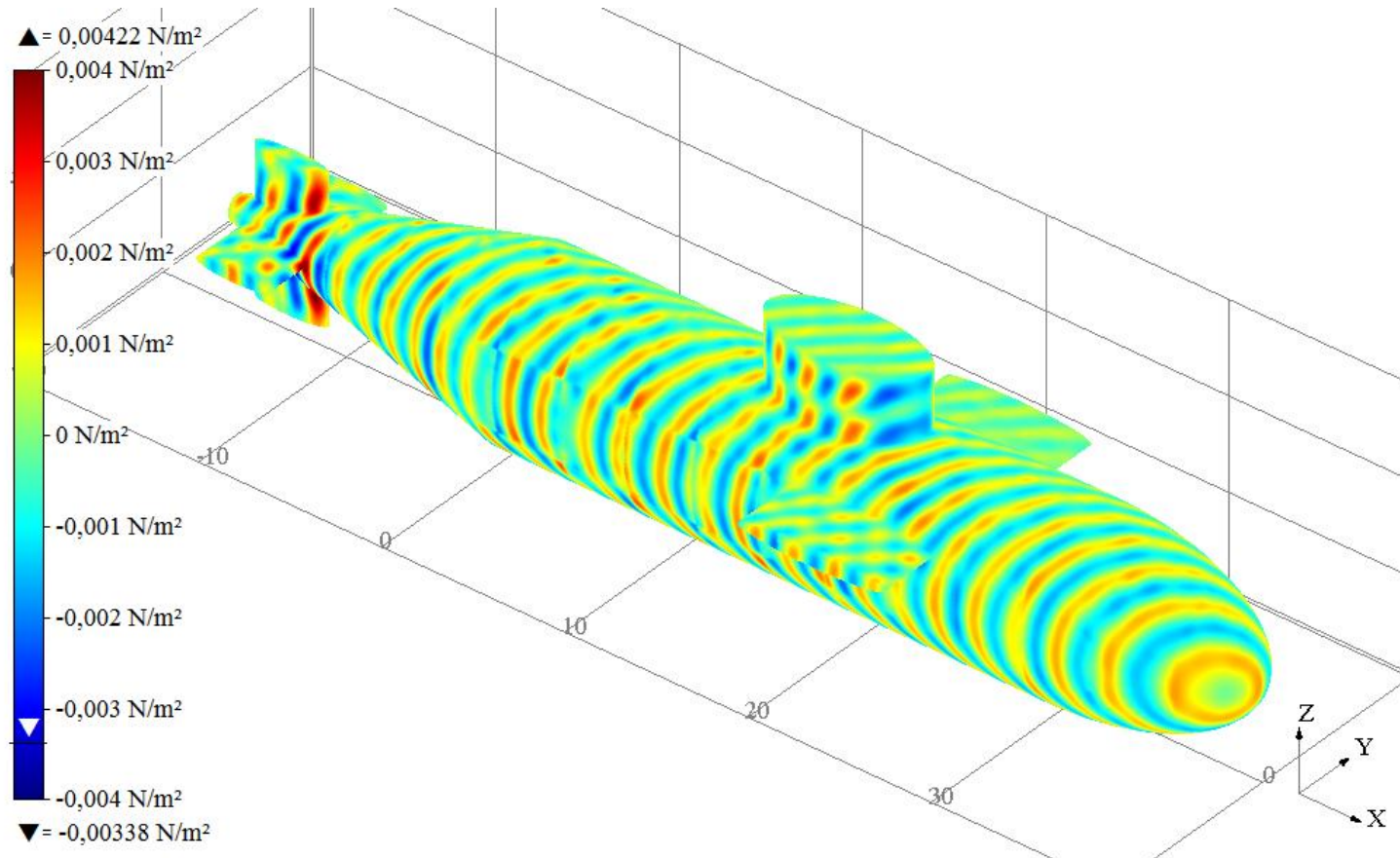
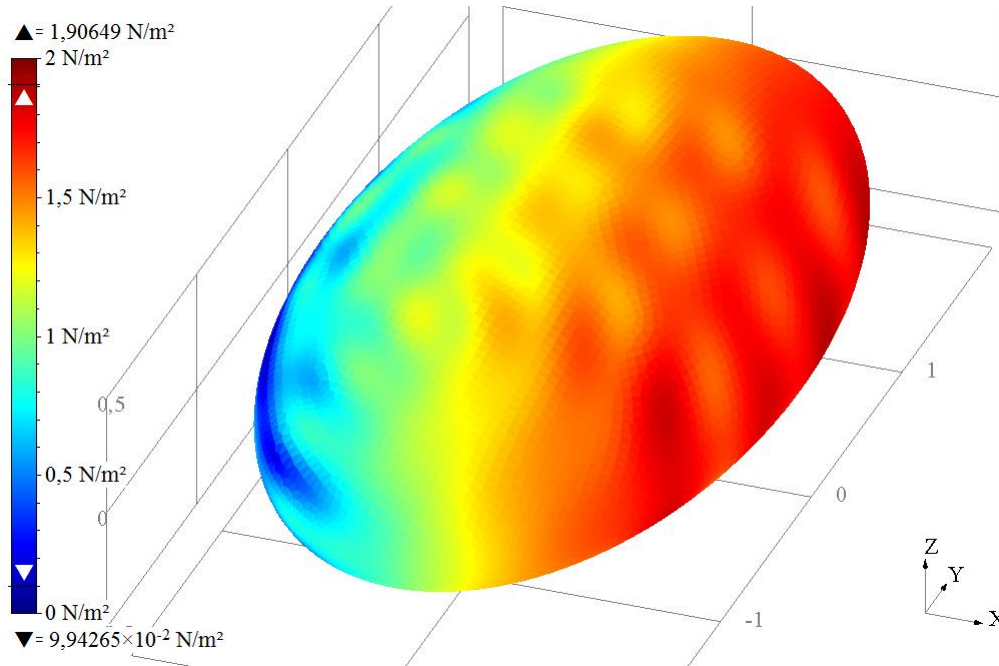


Abb. 9a: Modell eines U-Boots,  $Re(p_{surf})$ ,  $N_{elem} = 175.412$ ,  $f = 1.000$  Hz



Ein weiteres Problem bei Verwendung des Algorithmus mit fester Ordnung besteht darin, dass die Lösung aufgrund des Fehlers in der Matrix-Vektor-Produktbildung nicht mit der erwarteten Lösung übereinstimmt.



### GMRES, matrix-basiert

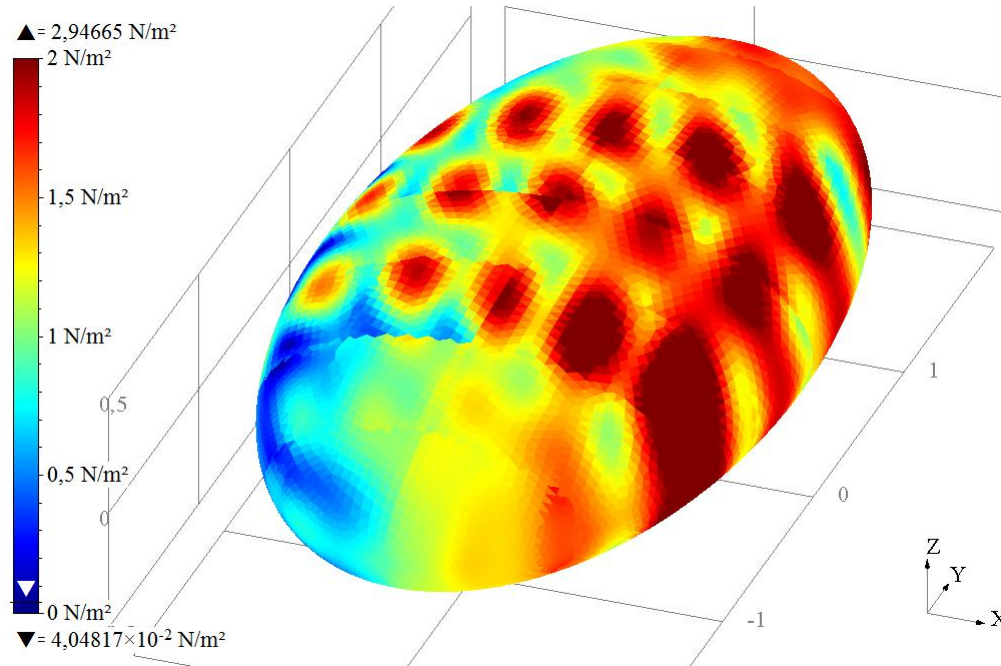
$N_{iter}$ : 70  
 $e_{iter}$ :  $\leq 10^{-6}$   
 $\Delta t_{solve}$ : 37,47 s (Windows)  
 30,90 s (LINUX)

### direct solver, matrix-basiert

$\Delta t_{solve}$ : 139,50 s (Windows)  
 $\Delta t_{solve}$ : 131,39 s (LINUX)

Abb. 10: Ellipsoid,  $abs(p_{surf})$ , konventionelle BEM, matrix-basiert

Ein weiteres Problem bei Verwendung des Algorithmus mit fester Ordnung besteht darin, dass die Lösung aufgrund des Fehlers in der Matrix-Vektor-Produktbildung nicht mit der erwarteten Lösung übereinstimmt.



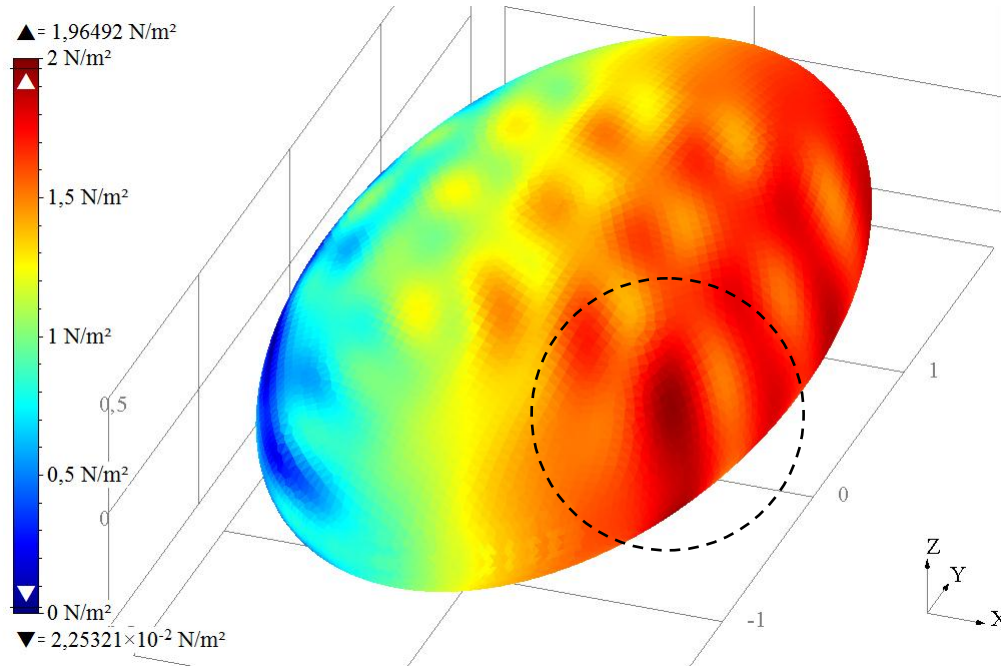
## GMRES mit MLFMM feste Multipol-Ordnung

|                      |                   |
|----------------------|-------------------|
| $N_{iter}$ :         | 67                |
| $e_{iter}$ :         | $\leq 10^{-6}$    |
| $O_{mp}$ :           | 6                 |
| $\Delta t_{solve}$ : | 11,06 s (Windows) |
|                      | 8,67 s (LINUX)    |

***Grosse Differenzen, nicht  
verwendbar!***

Abb. 11: Ellipsoid,  $abs(p_{surf})$ , MLFMM, feste Ordnung  $O_{mp} = 6$

Ein weiteres Problem bei Verwendung des Algorithmus mit fester Ordnung besteht darin, dass die Lösung aufgrund des Fehlers in der Matrix-Vektor-Produktbildung nicht mit der erwarteten Lösung übereinstimmt.



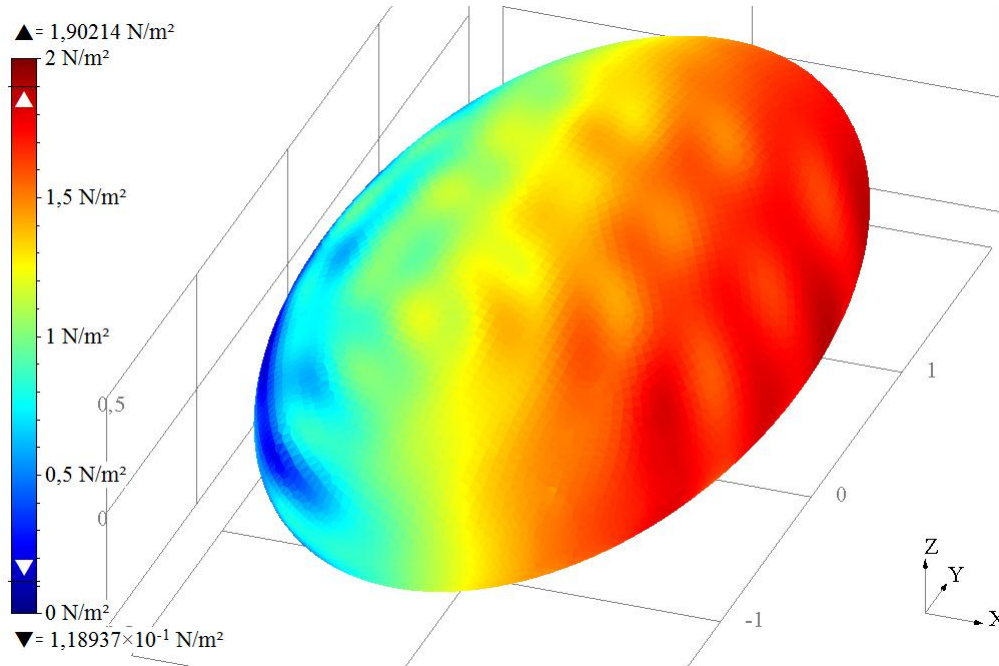
## GMRES mit MLFMM feste Multipol-Ordnung

|                      |                   |
|----------------------|-------------------|
| $N_{iter}$ :         | 71                |
| $e_{iter}$ :         | $\leq 10^{-6}$    |
| $O_{mp}$ :           | 15                |
| $\Delta t_{solve}$ : | 36,93 s (Windows) |
|                      | 27,56 s (LINUX)   |

*Noch sichtbare Differenzen*

Abb. 12: Ellipsoid,  $abs(p_{surf})$ , MLFMM, feste Ordnung  $O_{mp} = 15$

Ein weiteres Problem bei Verwendung des Algorithmus mit fester Ordnung besteht darin, dass die Lösung aufgrund des Fehlers in der Matrix-Vektor-Produktbildung nicht mit der erwarteten Lösung übereinstimmt.



## GMRES mit MLFMM adaptive Multipol-Ordnung

|                      |                   |
|----------------------|-------------------|
| $N_{iter}$ :         | 70                |
| $e_{iter}$ :         | $\leq 10^{-6}$    |
| $O_{mp}$ :           | 6...55            |
| $\Delta t_{solve}$ : | 33,45 s (Windows) |
|                      | 28,17 s (LINUX)   |

*Sehr gute qualitative und  
quantitative Übereinstimmung!*

Abb. 12: Ellipsoid,  $abs(p_{surf})$ , MLFMM, feste Ordnung  $O_{mp} = 15$

## Zusammenfassung

- Die vorgestellten Ergebnisse zeigen, dass die adaptive und performance-optimierte Version des MLFMM-Algorithmus eine bessere Qualität und schnellere Lösungen liefert.
- Bei höheren Frequenzen zeigt die MLFMM erhebliche qualitative Unterschiede, da sich der Fehler in der methodenbasierten Matrix-Vektor-Produktbildung verstärkt auswirkt. Hier sind weitere Untersuchungen zur Optimierung des Codes für höhere Multipol-Entwicklungsordnungen notwendig.

## Ausblick

- Es sollen geeignete Vorkonditionierungsverfahren getestet werden, um eine bessere Konvergenz des iterativen Verfahrens zu erreichen. Erste Ergebnisse wurden in [3] veröffentlicht, aber diese waren nicht wirklich erfolgversprechend, sodass hier weitere Arbeiten geplant sind.
- Erste aktuelle Ergebnisse der Kombination des adaptiven MLFMM-Algorithmus mit der Burton-Miller-Methode zeigen aufgrund der besseren Kondition der Systemmatrix eine deutliche Reduktion der Anzahl an Iterationen, sodass hier ein weiterer Schwerpunkt zu setzen ist.

